



















Ein und Ausgabe: Farbmetrisches Drucker-Reflexiv-System ORS19\_96a  
Daten für jede Farbe:  
 $u^*_e$  und Nummer Nr. = 00...15  
Elementar-Bunttonexte:  
 $u^*_e = 16$  Bunttonexte  $00j, 025j, \dots, b75j$   
Kontrastreduzierungsfaktor:  
 $c_R = 1.0$

ORS19\_96a; adaptierte CIELAB-Daten  
Daten für Maximalfarbe (Ma):  
 $L^*_{max}, a^*_{max}, b^*_{max}$   
C<sub>max</sub>, h<sub>max</sub>, u<sub>max</sub>  
Y<sub>max</sub>, X<sub>max</sub>, Z<sub>max</sub>  
%Umfang  
u<sub>max</sub> = 89  
%Regularität  
R<sub>reg</sub> = 72  
R<sub>reg,ci</sub> = 57

ORS19\_96a; adaptierte CIELAB-Daten  
Daten für Maximalfarbe (Ma):  
 $L^*_{max}, a^*_{max}, b^*_{max}$   
C<sub>max</sub>, h<sub>max</sub>, u<sub>max</sub>  
Y<sub>max</sub>, X<sub>max</sub>, Z<sub>max</sub>  
%Umfang  
u<sub>max</sub> = 89  
%Regularität  
R<sub>reg</sub> = 72  
R<sub>reg,ci</sub> = 57

ORS19\_96a; adaptierte CIELAB-Daten  
Daten für Maximalfarbe (Ma):  
 $L^*_{max}, a^*_{max}, b^*_{max}$   
C<sub>max</sub>, h<sub>max</sub>, u<sub>max</sub>  
Y<sub>max</sub>, X<sub>max</sub>, Z<sub>max</sub>  
%Umfang  
u<sub>max</sub> = 89  
%Regularität  
R<sub>reg</sub> = 72  
R<sub>reg,ci</sub> = 57

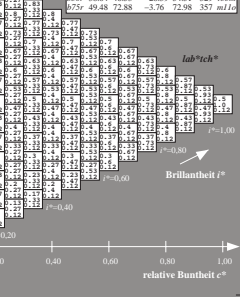
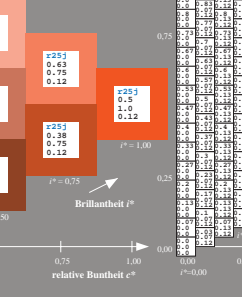
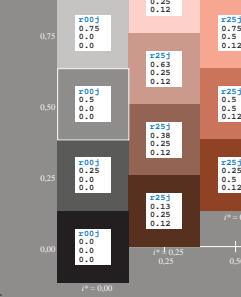
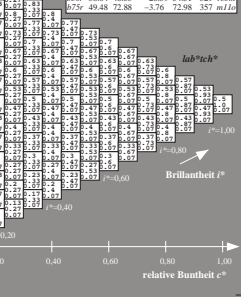
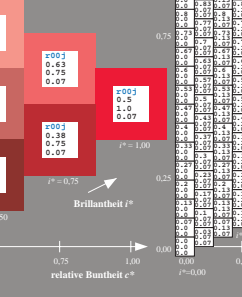
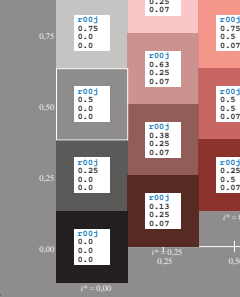
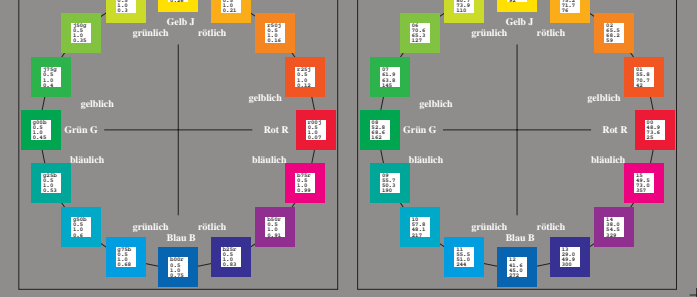
ORS19\_96a; adaptierte CIELAB-Daten  
Daten für Maximalfarbe (Ma):  
 $L^*_{max}, a^*_{max}, b^*_{max}$   
C<sub>max</sub>, h<sub>max</sub>, u<sub>max</sub>  
Y<sub>max</sub>, X<sub>max</sub>, Z<sub>max</sub>  
%Umfang  
u<sub>max</sub> = 89  
%Regularität  
R<sub>reg</sub> = 72  
R<sub>reg,ci</sub> = 57

ORS19\_96a; adaptierte CIELAB-Daten  
Daten für Maximalfarbe (Ma):  
 $L^*_{max}, a^*_{max}, b^*_{max}$   
C<sub>max</sub>, h<sub>max</sub>, u<sub>max</sub>  
Y<sub>max</sub>, X<sub>max</sub>, Z<sub>max</sub>  
%Umfang  
u<sub>max</sub> = 89  
%Regularität  
R<sub>reg</sub> = 72  
R<sub>reg,ci</sub> = 57

ORS19\_96a; adaptierte CIELAB-Daten  
Daten für Maximalfarbe (Ma):  
 $L^*_{max}, a^*_{max}, b^*_{max}$   
C<sub>max</sub>, h<sub>max</sub>, u<sub>max</sub>  
Y<sub>max</sub>, X<sub>max</sub>, Z<sub>max</sub>  
%Umfang  
u<sub>max</sub> = 89  
%Regularität  
R<sub>reg</sub> = 72  
R<sub>reg,ci</sub> = 57

ORS19\_96a; adaptierte CIELAB-Daten  
Daten für Maximalfarbe (Ma):  
 $L^*_{max}, a^*_{max}, b^*_{max}$   
C<sub>max</sub>, h<sub>max</sub>, u<sub>max</sub>  
Y<sub>max</sub>, X<sub>max</sub>, Z<sub>max</sub>  
%Umfang  
u<sub>max</sub> = 89  
%Regularität  
R<sub>reg</sub> = 72  
R<sub>reg,ci</sub> = 57

ORS19\_96a; adaptierte CIELAB-Daten  
Daten für Maximalfarbe (Ma):  
 $L^*_{max}, a^*_{max}, b^*_{max}$   
C<sub>max</sub>, h<sub>max</sub>, u<sub>max</sub>  
Y<sub>max</sub>, X<sub>max</sub>, Z<sub>max</sub>  
%Umfang  
u<sub>max</sub> = 89  
%Regularität  
R<sub>reg</sub> = 72  
R<sub>reg,ci</sub> = 57



Ein und Ausgabe: Farbmetrisches Drucker-Reflexiv-System ORS19\_96, L\*=19\_96 für relativen CIELAB-Buntton  $h^* = lab^*h^* = h_{ab}/360 = 0.164$   $u^*_e = 250j$   
Daten für jede Farbe:  
 $lab^*ich$  und  $lab^*vic$   
Bunttonexte:  
 $u^*_e = 250j$   $u^*_d = 025j$   
Kontrastreduzierungsfaktor:  
 $c_R = 1.0$   
Dreiecks-Heiligkeit  $I^*$

ORS19\_96a; adaptierte CIELAB-Daten  
Daten für Maximalfarbe (Ma):  
 $L^*_{max}, a^*_{max}, b^*_{max}$   
C<sub>max</sub>, h<sub>max</sub>, u<sub>max</sub>  
Y<sub>max</sub>, X<sub>max</sub>, Z<sub>max</sub>  
%Umfang  
u<sub>max</sub> = 89  
%Regularität  
R<sub>reg</sub> = 72  
R<sub>reg,ci</sub> = 57

ORS19\_96a; adaptierte CIELAB-Daten  
Daten für Maximalfarbe (Ma):  
 $L^*_{max}, a^*_{max}, b^*_{max}$   
C<sub>max</sub>, h<sub>max</sub>, u<sub>max</sub>  
Y<sub>max</sub>, X<sub>max</sub>, Z<sub>max</sub>  
%Umfang  
u<sub>max</sub> = 89  
%Regularität  
R<sub>reg</sub> = 72  
R<sub>reg,ci</sub> = 57

ORS19\_96a; adaptierte CIELAB-Daten  
Daten für Maximalfarbe (Ma):  
 $L^*_{max}, a^*_{max}, b^*_{max}$   
C<sub>max</sub>, h<sub>max</sub>, u<sub>max</sub>  
Y<sub>max</sub>, X<sub>max</sub>, Z<sub>max</sub>  
%Umfang  
u<sub>max</sub> = 89  
%Regularität  
R<sub>reg</sub> = 72  
R<sub>reg,ci</sub> = 57

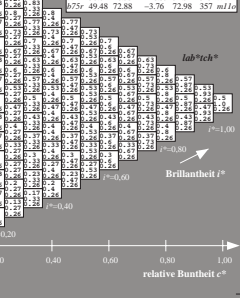
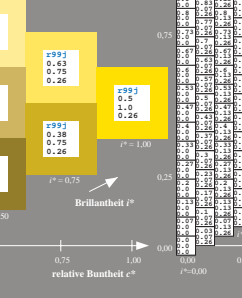
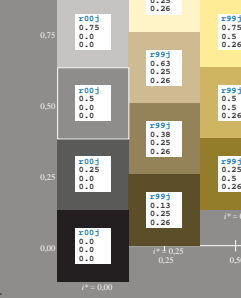
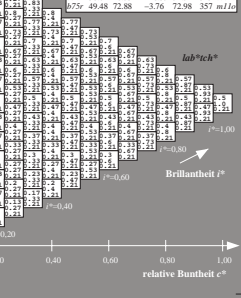
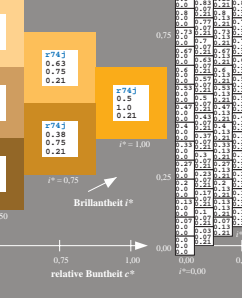
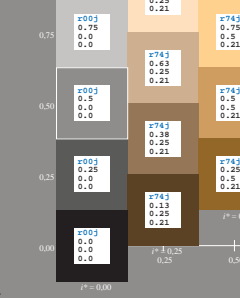
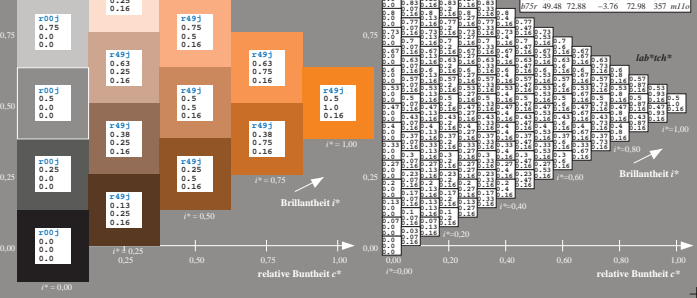
ORS19\_96a; adaptierte CIELAB-Daten  
Daten für Maximalfarbe (Ma):  
 $L^*_{max}, a^*_{max}, b^*_{max}$   
C<sub>max</sub>, h<sub>max</sub>, u<sub>max</sub>  
Y<sub>max</sub>, X<sub>max</sub>, Z<sub>max</sub>  
%Umfang  
u<sub>max</sub> = 89  
%Regularität  
R<sub>reg</sub> = 72  
R<sub>reg,ci</sub> = 57

ORS19\_96a; adaptierte CIELAB-Daten  
Daten für Maximalfarbe (Ma):  
 $L^*_{max}, a^*_{max}, b^*_{max}$   
C<sub>max</sub>, h<sub>max</sub>, u<sub>max</sub>  
Y<sub>max</sub>, X<sub>max</sub>, Z<sub>max</sub>  
%Umfang  
u<sub>max</sub> = 89  
%Regularität  
R<sub>reg</sub> = 72  
R<sub>reg,ci</sub> = 57

ORS19\_96a; adaptierte CIELAB-Daten  
Daten für Maximalfarbe (Ma):  
 $L^*_{max}, a^*_{max}, b^*_{max}$   
C<sub>max</sub>, h<sub>max</sub>, u<sub>max</sub>  
Y<sub>max</sub>, X<sub>max</sub>, Z<sub>max</sub>  
%Umfang  
u<sub>max</sub> = 89  
%Regularität  
R<sub>reg</sub> = 72  
R<sub>reg,ci</sub> = 57

ORS19\_96a; adaptierte CIELAB-Daten  
Daten für Maximalfarbe (Ma):  
 $L^*_{max}, a^*_{max}, b^*_{max}$   
C<sub>max</sub>, h<sub>max</sub>, u<sub>max</sub>  
Y<sub>max</sub>, X<sub>max</sub>, Z<sub>max</sub>  
%Umfang  
u<sub>max</sub> = 89  
%Regularität  
R<sub>reg</sub> = 72  
R<sub>reg,ci</sub> = 57

ORS19\_96a; adaptierte CIELAB-Daten  
Daten für Maximalfarbe (Ma):  
 $L^*_{max}, a^*_{max}, b^*_{max}$   
C<sub>max</sub>, h<sub>max</sub>, u<sub>max</sub>  
Y<sub>max</sub>, X<sub>max</sub>, Z<sub>max</sub>  
%Umfang  
u<sub>max</sub> = 89  
%Regularität  
R<sub>reg</sub> = 72  
R<sub>reg,ci</sub> = 57



Ein und Ausgabe: Farbmetrisches Drucker-Reflexiv-System ORS19\_96, L\*=19\_96 für relativen CIELAB-Buntton  $h^* = lab^*h^* = h_{ab}/360 = 0.205$   $u^*_e = 250j$   
Daten für jede Farbe:  
 $lab^*ich$  und  $lab^*vic$   
Bunttonexte:  
 $u^*_e = 250j$   $u^*_d = 025j$   
Kontrastreduzierungsfaktor:  
 $c_R = 1.0$   
Dreiecks-Heiligkeit  $I^*$

ORS19\_96a; adaptierte CIELAB-Daten  
Daten für Maximalfarbe (Ma):  
 $L^*_{max}, a^*_{max}, b^*_{max}$   
C<sub>max</sub>, h<sub>max</sub>, u<sub>max</sub>  
Y<sub>max</sub>, X<sub>max</sub>, Z<sub>max</sub>  
%Umfang  
u<sub>max</sub> = 89  
%Regularität  
R<sub>reg</sub> = 72  
R<sub>reg,ci</sub> = 57

ORS19\_96a; adaptierte CIELAB-Daten  
Daten für Maximalfarbe (Ma):  
 $L^*_{max}, a^*_{max}, b^*_{max}$   
C<sub>max</sub>, h<sub>max</sub>, u<sub>max</sub>  
Y<sub>max</sub>, X<sub>max</sub>, Z<sub>max</sub>  
%Umfang  
u<sub>max</sub> = 89  
%Regularität  
R<sub>reg</sub> = 72  
R<sub>reg,ci</sub> = 57

ORS19\_96a; adaptierte CIELAB-Daten  
Daten für Maximalfarbe (Ma):  
 $L^*_{max}, a^*_{max}, b^*_{max}$   
C<sub>max</sub>, h<sub>max</sub>, u<sub>max</sub>  
Y<sub>max</sub>, X<sub>max</sub>, Z<sub>max</sub>  
%Umfang  
u<sub>max</sub> = 89  
%Regularität  
R<sub>reg</sub> = 72  
R<sub>reg,ci</sub> = 57

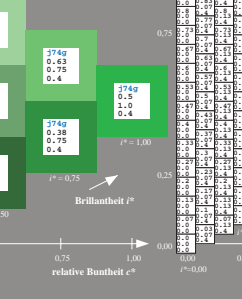
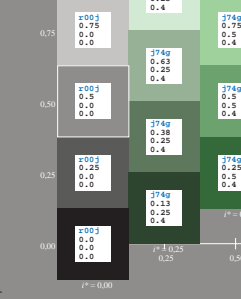
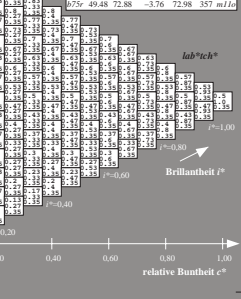
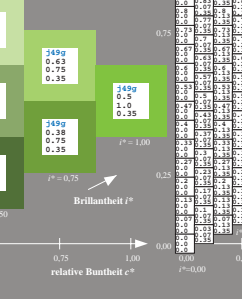
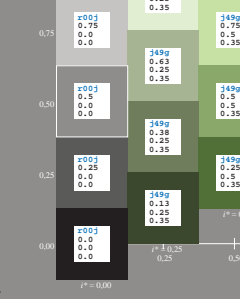
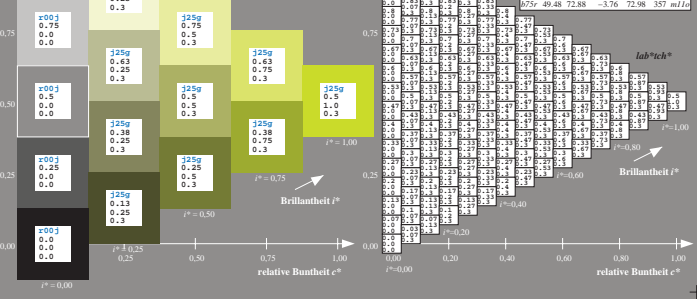
ORS19\_96a; adaptierte CIELAB-Daten  
Daten für Maximalfarbe (Ma):  
 $L^*_{max}, a^*_{max}, b^*_{max}$   
C<sub>max</sub>, h<sub>max</sub>, u<sub>max</sub>  
Y<sub>max</sub>, X<sub>max</sub>, Z<sub>max</sub>  
%Umfang  
u<sub>max</sub> = 89  
%Regularität  
R<sub>reg</sub> = 72  
R<sub>reg,ci</sub> = 57

ORS19\_96a; adaptierte CIELAB-Daten  
Daten für Maximalfarbe (Ma):  
 $L^*_{max}, a^*_{max}, b^*_{max}$   
C<sub>max</sub>, h<sub>max</sub>, u<sub>max</sub>  
Y<sub>max</sub>, X<sub>max</sub>, Z<sub>max</sub>  
%Umfang  
u<sub>max</sub> = 89  
%Regularität  
R<sub>reg</sub> = 72  
R<sub>reg,ci</sub> = 57

ORS19\_96a; adaptierte CIELAB-Daten  
Daten für Maximalfarbe (Ma):  
 $L^*_{max}, a^*_{max}, b^*_{max}$   
C<sub>max</sub>, h<sub>max</sub>, u<sub>max</sub>  
Y<sub>max</sub>, X<sub>max</sub>, Z<sub>max</sub>  
%Umfang  
u<sub>max</sub> = 89  
%Regularität  
R<sub>reg</sub> = 72  
R<sub>reg,ci</sub> = 57

ORS19\_96a; adaptierte CIELAB-Daten  
Daten für Maximalfarbe (Ma):  
 $L^*_{max}, a^*_{max}, b^*_{max}$   
C<sub>max</sub>, h<sub>max</sub>, u<sub>max</sub>  
Y<sub>max</sub>, X<sub>max</sub>, Z<sub>max</sub>  
%Umfang  
u<sub>max</sub> = 89  
%Regularität  
R<sub>reg</sub> = 72  
R<sub>reg,ci</sub> = 57

ORS19\_96a; adaptierte CIELAB-Daten  
Daten für Maximalfarbe (Ma):  
 $L^*_{max}, a^*_{max}, b^*_{max}$   
C<sub>max</sub>, h<sub>max</sub>, u<sub>max</sub>  
Y<sub>max</sub>, X<sub>max</sub>, Z<sub>max</sub>  
%Umfang  
u<sub>max</sub> = 89  
%Regularität  
R<sub>reg</sub> = 72  
R<sub>reg,ci</sub> = 57





Ein und Ausgabe: Farbmetrisches Drucker-Reflexiv-System ORS19\_96a  
 Daten für jede Farbe:  
 $u^*_e$  und Nummer Nr. = 00...15  
 Elementar-Bunttonexte:  
 $u^*_e = 16$  Bunttonexte  $001; 025j; ...; 075r$   
 Kontrastreduzierungs-faktor:  
 $c_R = 1.0$

ORS19\_96a; adaptierte CIELAB-Daten  
 Daten für Maximalfarbe (Ma):  
 $L^*_{max} = 100$   
 $a^*_{max} = 127.460$   
 $b^*_{max} = 127.460$   
 Bunttonexte:  
 Ma: 48.58 66.47 31.67 73.63 25 m04a  
 25j 55.85 52.39 47.48 70.72 42 o17j  
 50g 65.45 32.22 58.37 68.17 59 o25j  
 75r 75.19 17.82 69.41 71.66 76 o67r  
 90g 87.03 -3.35 82.83 82.9 92 o92g  
 95y 80.72 -25.01 69.5 73.86 110 200  
 50g 70.64 -39.54 51.97 65.3 127 y60  
 75r 61.93 -52.1 36.83 63.8 145 y72r  
 90g 52.8 -65.28 20.93 68.56 162 190g  
 50g 55.7 -49.58 -8.39 50.28 190 196g  
 50g 57.82 -38.4 -28.02 48.07 217 272g  
 50g 52.23 -42.42 13.6 44.55 162  
 90g 41.6 1.37 -45.01 45.03 272 256g  
 95y 49.48 72.88 -3.76 72.98 357 m16

ORS19\_96a; adaptierte CIELAB-Daten  
 Daten für Maximalfarbe (Ma):  
 $L^*_{max} = 100$   
 $a^*_{max} = 127.460$   
 $b^*_{max} = 127.460$   
 Bunttonexte:  
 Ma: 48.58 66.47 31.67 73.63 25 m04a  
 25j 55.85 52.39 47.48 70.72 42 o17j  
 50g 65.45 32.22 58.37 68.17 59 o25j  
 75r 75.19 17.82 69.41 71.66 76 o67r  
 90g 87.03 -3.35 82.83 82.9 92 o92g  
 95y 80.72 -25.01 69.5 73.86 110 200  
 50g 70.64 -39.54 51.97 65.3 127 y60  
 75r 61.93 -52.1 36.83 63.8 145 y72r  
 90g 52.8 -65.28 20.93 68.56 162 190g  
 50g 55.7 -49.58 -8.39 50.28 190 196g  
 50g 57.82 -38.4 -28.02 48.07 217 272g  
 50g 52.23 -42.42 13.6 44.55 162  
 90g 41.6 1.37 -45.01 45.03 272 256g  
 95y 49.48 72.88 -3.76 72.98 357 m16

ORS19\_96a; adaptierte CIELAB-Daten  
 Daten für Maximalfarbe (Ma):  
 $L^*_{max} = 100$   
 $a^*_{max} = 127.460$   
 $b^*_{max} = 127.460$   
 Bunttonexte:  
 Ma: 48.58 66.47 31.67 73.63 25 m04a  
 25j 55.85 52.39 47.48 70.72 42 o17j  
 50g 65.45 32.22 58.37 68.17 59 o25j  
 75r 75.19 17.82 69.41 71.66 76 o67r  
 90g 87.03 -3.35 82.83 82.9 92 o92g  
 95y 80.72 -25.01 69.5 73.86 110 200  
 50g 70.64 -39.54 51.97 65.3 127 y60  
 75r 61.93 -52.1 36.83 63.8 145 y72r  
 90g 52.8 -65.28 20.93 68.56 162 190g  
 50g 55.7 -49.58 -8.39 50.28 190 196g  
 50g 57.82 -38.4 -28.02 48.07 217 272g  
 50g 52.23 -42.42 13.6 44.55 162  
 90g 41.6 1.37 -45.01 45.03 272 256g  
 95y 49.48 72.88 -3.76 72.98 357 m16

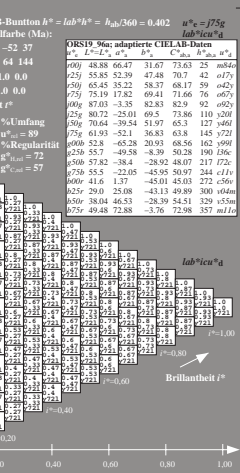
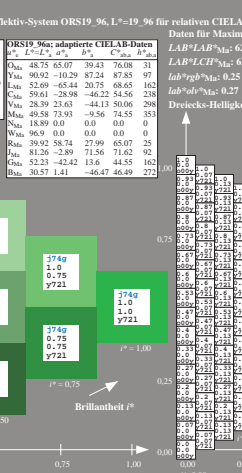
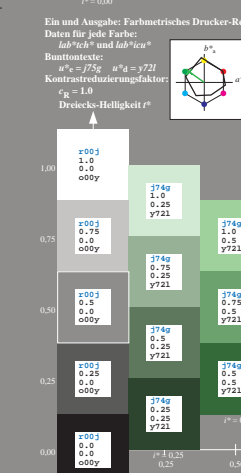
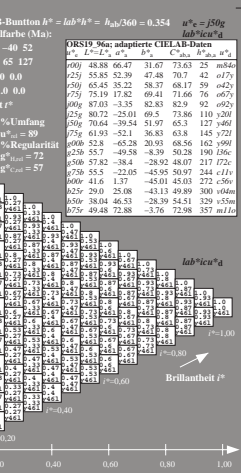
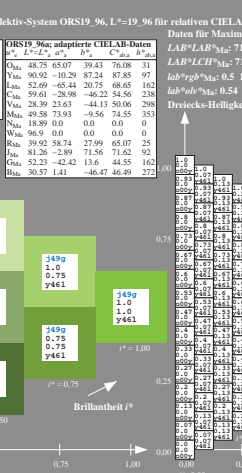
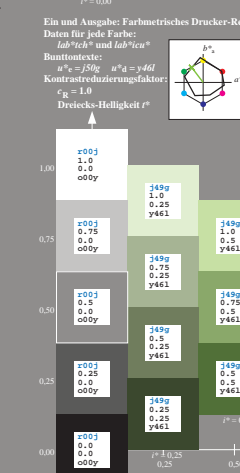
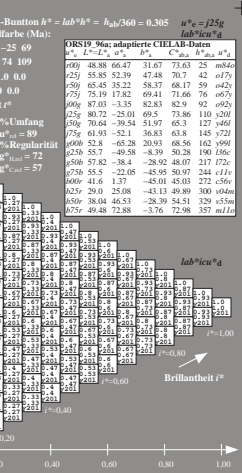
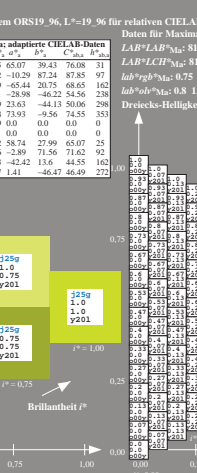
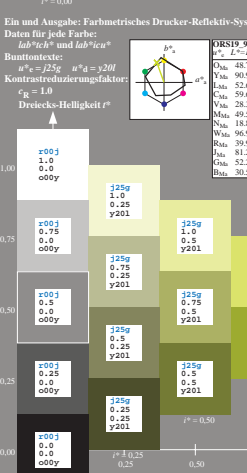
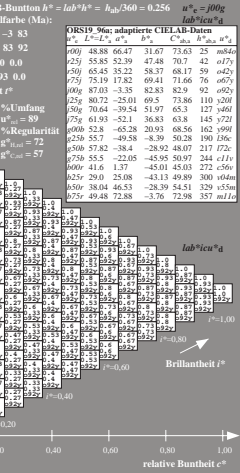
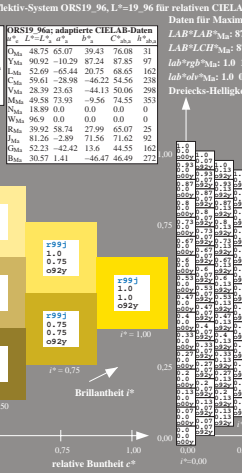
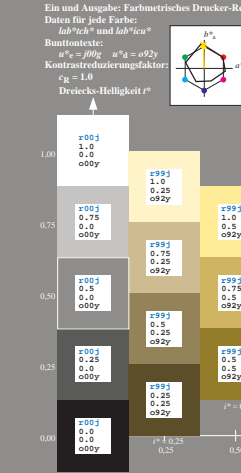
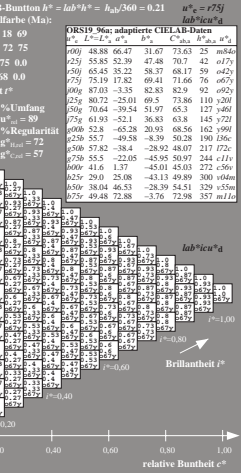
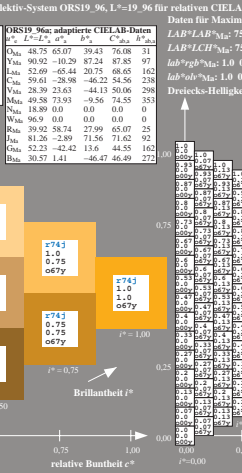
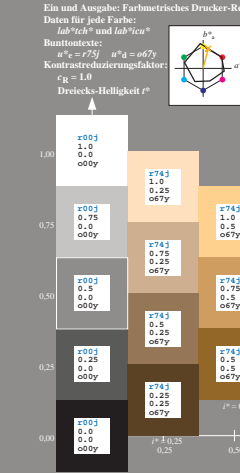
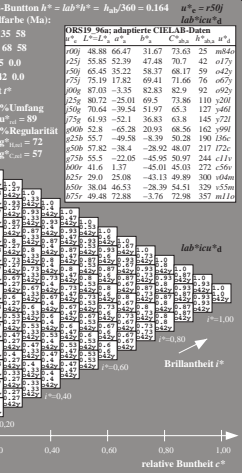
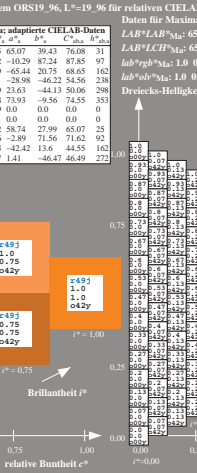
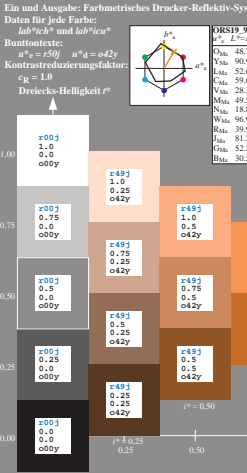
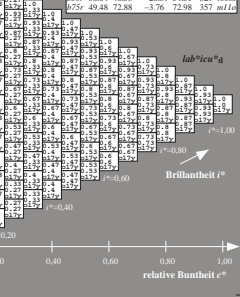
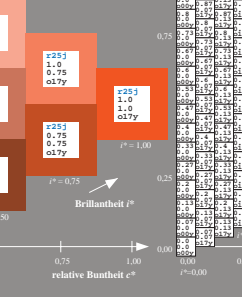
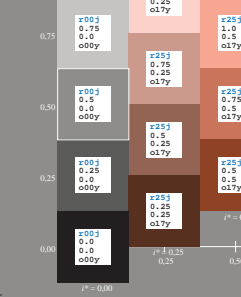
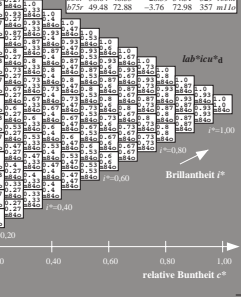
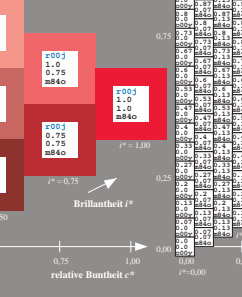
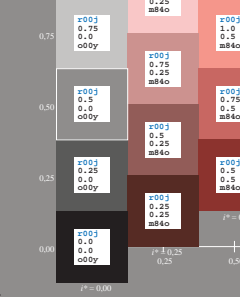
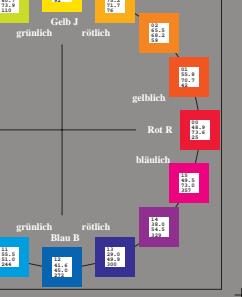
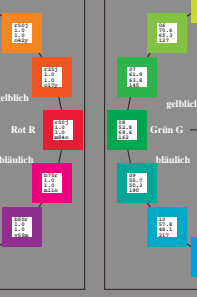
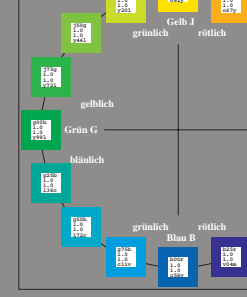
ORS19\_96a; adaptierte CIELAB-Daten  
 Daten für Maximalfarbe (Ma):  
 $L^*_{max} = 100$   
 $a^*_{max} = 127.460$   
 $b^*_{max} = 127.460$   
 Bunttonexte:  
 Ma: 48.58 66.47 31.67 73.63 25 m04a  
 25j 55.85 52.39 47.48 70.72 42 o17j  
 50g 65.45 32.22 58.37 68.17 59 o25j  
 75r 75.19 17.82 69.41 71.66 76 o67r  
 90g 87.03 -3.35 82.83 82.9 92 o92g  
 95y 80.72 -25.01 69.5 73.86 110 200  
 50g 70.64 -39.54 51.97 65.3 127 y60  
 75r 61.93 -52.1 36.83 63.8 145 y72r  
 90g 52.8 -65.28 20.93 68.56 162 190g  
 50g 55.7 -49.58 -8.39 50.28 190 196g  
 50g 57.82 -38.4 -28.02 48.07 217 272g  
 50g 52.23 -42.42 13.6 44.55 162  
 90g 41.6 1.37 -45.01 45.03 272 256g  
 95y 49.48 72.88 -3.76 72.98 357 m16

ORS19\_96a; adaptierte CIELAB-Daten  
 Daten für Maximalfarbe (Ma):  
 $L^*_{max} = 100$   
 $a^*_{max} = 127.460$   
 $b^*_{max} = 127.460$   
 Bunttonexte:  
 Ma: 48.58 66.47 31.67 73.63 25 m04a  
 25j 55.85 52.39 47.48 70.72 42 o17j  
 50g 65.45 32.22 58.37 68.17 59 o25j  
 75r 75.19 17.82 69.41 71.66 76 o67r  
 90g 87.03 -3.35 82.83 82.9 92 o92g  
 95y 80.72 -25.01 69.5 73.86 110 200  
 50g 70.64 -39.54 51.97 65.3 127 y60  
 75r 61.93 -52.1 36.83 63.8 145 y72r  
 90g 52.8 -65.28 20.93 68.56 162 190g  
 50g 55.7 -49.58 -8.39 50.28 190 196g  
 50g 57.82 -38.4 -28.02 48.07 217 272g  
 50g 52.23 -42.42 13.6 44.55 162  
 90g 41.6 1.37 -45.01 45.03 272 256g  
 95y 49.48 72.88 -3.76 72.98 357 m16

ORS19\_96a; adaptierte CIELAB-Daten  
 Daten für Maximalfarbe (Ma):  
 $L^*_{max} = 100$   
 $a^*_{max} = 127.460$   
 $b^*_{max} = 127.460$   
 Bunttonexte:  
 Ma: 48.58 66.47 31.67 73.63 25 m04a  
 25j 55.85 52.39 47.48 70.72 42 o17j  
 50g 65.45 32.22 58.37 68.17 59 o25j  
 75r 75.19 17.82 69.41 71.66 76 o67r  
 90g 87.03 -3.35 82.83 82.9 92 o92g  
 95y 80.72 -25.01 69.5 73.86 110 200  
 50g 70.64 -39.54 51.97 65.3 127 y60  
 75r 61.93 -52.1 36.83 63.8 145 y72r  
 90g 52.8 -65.28 20.93 68.56 162 190g  
 50g 55.7 -49.58 -8.39 50.28 190 196g  
 50g 57.82 -38.4 -28.02 48.07 217 272g  
 50g 52.23 -42.42 13.6 44.55 162  
 90g 41.6 1.37 -45.01 45.03 272 256g  
 95y 49.48 72.88 -3.76 72.98 357 m16

ORS19\_96a; adaptierte CIELAB-Daten  
 Daten für Maximalfarbe (Ma):  
 $L^*_{max} = 100$   
 $a^*_{max} = 127.460$   
 $b^*_{max} = 127.460$   
 Bunttonexte:  
 Ma: 48.58 66.47 31.67 73.63 25 m04a  
 25j 55.85 52.39 47.48 70.72 42 o17j  
 50g 65.45 32.22 58.37 68.17 59 o25j  
 75r 75.19 17.82 69.41 71.66 76 o67r  
 90g 87.03 -3.35 82.83 82.9 92 o92g  
 95y 80.72 -25.01 69.5 73.86 110 200  
 50g 70.64 -39.54 51.97 65.3 127 y60  
 75r 61.93 -52.1 36.83 63.8 145 y72r  
 90g 52.8 -65.28 20.93 68.56 162 190g  
 50g 55.7 -49.58 -8.39 50.28 190 196g  
 50g 57.82 -38.4 -28.02 48.07 217 272g  
 50g 52.23 -42.42 13.6 44.55 162  
 90g 41.6 1.37 -45.01 45.03 272 256g  
 95y 49.48 72.88 -3.76 72.98 357 m16

ORS19\_96a; adaptierte CIELAB-Daten  
 Daten für Maximalfarbe (Ma):  
 $L^*_{max} = 100$   
 $a^*_{max} = 127.460$   
 $b^*_{max} = 127.460$   
 Bunttonexte:  
 Ma: 48.58 66.47 31.67 73.63 25 m04a  
 25j 55.85 52.39 47.48 70.72 42 o17j  
 50g 65.45 32.22 58.37 68.17 59 o25j  
 75r 75.19 17.82 69.41 71.66 76 o67r  
 90g 87.03 -3.35 82.83 82.9 92 o92g  
 95y 80.72 -25.01 69.5 73.86 110 200  
 50g 70.64 -39.54 51.97 65.3 127 y60  
 75r 61.93 -52.1 36.83 63.8 145 y72r  
 90g 52.8 -65.28 20.93 68.56 162 190g  
 50g 55.7 -49.58 -8.39 50.28 190 196g  
 50g 57.82 -38.4 -28.02 48.07 217 272g  
 50g 52.23 -42.42 13.6 44.55 162  
 90g 41.6 1.37 -45.01 45.03 272 256g  
 95y 49.48 72.88 -3.76 72.98 357 m16



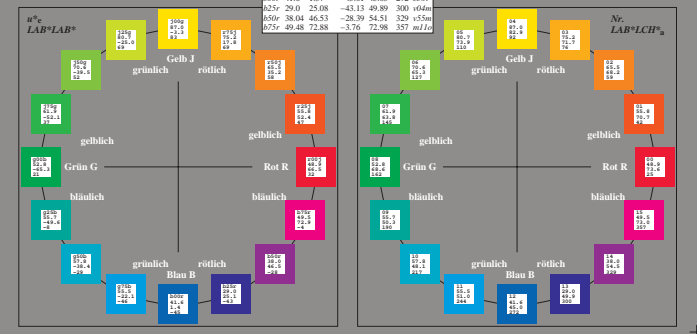
Ein und Ausgabe: Farbmetrisches Drucker-Reflektiv-System ORS19\_96a  
 Daten für jede Farbe:  
 $u^*$  und Nummer  $N_r = 00 \dots 15$   
 Elementar-Bunttonsteine  
 $u^*_r = 16$  Bunttonsteine  $00^*_r, 25^*_r, \dots, b75^*_r$   
 Kontrastreduzierungsfaktor:  
 $c_r = 1.0$

ORS19\_96a adaptierte CIELAB-Daten

Y <sub>50</sub>	L*	a*	b*	C <sub>ab</sub> *	h <sub>ab</sub> *	u <sub>ab</sub> *	v <sub>ab</sub> *
25	58.85	23.29	47.48	70.7	42	0.175	0.025
50	65.45	32.22	58.37	68.17	59	0.425	0.050
75	75.19	43.82	69.41	71.66	76	0.675	0.075
100	87.03	53.35	82.83	82.9	92	0.925	0.100
125	90.72	55.01	85.9	82.9	92	0.925	0.100
150	70.64	39.54	51.97	65.3	127	0.460	0.050
175	61.93	32.1	36.83	63.8	145	0.372	0.040
200	52.18	25.28	20.93	65.6	162	0.290	0.030
225	55.57	49.58	38.39	50.28	190	0.86	0.060
250	57.82	38.4	28.02	48.07	217	0.72	0.050
275	58.5	22.05	45.95	80.97	244	0.11	0.010
300	41.6	1.37	-45.01	45.03	272	0.56	0.020
325	29.0	25.08	-43.19	49.89	300	0.46	0.020
350	38.04	46.53	-28.39	54.51	329	0.55	0.020
375	49.48	72.88	-3.76	72.98	357	0.16	0.010

ORS19\_96c CIELAB-Daten

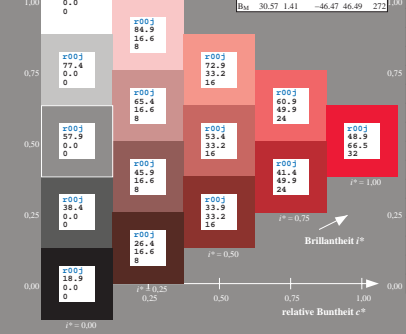
Y <sub>50</sub>	L*	a*	b*	C <sub>ab</sub> *	h <sub>ab</sub> *	u <sub>ab</sub> *	v <sub>ab</sub> *
25	48.75	65.16	40.76	76.86	32	0.040	0.005
50	90.92	-10.78	89.36	90.01	97	0.00	0.00
75	52.69	-65.4	22.15	69.05	161	0.00	0.00
100	59.61	-29.04	-44.69	53.3	237	0.00	0.00
125	28.39	24.0	-43.18	49.4	299	0.00	0.00
150	49.58	74.01	-8.22	74.7	354	0.00	0.00
175	18.89	0.5	0.77	0.92	57	0.00	0.00
200	96.9	-0.57	2.23	2.3	104	0.00	0.00
225	49.58	62.74	27.99	65.07	228	0.00	0.00
250	81.26	-2.89	71.56	71.62	92	0.00	0.00
275	52.23	-42.42	13.6	44.55	162	0.00	0.00
300	30.57	14.1	-46.47	46.49	272	0.00	0.00



Ein und Ausgabe: Farbmetrisches Drucker-Reflektiv-System ORS19\_96, L\* = 19\_96 für relative CIELAB-Buntton  $h^* = lab^*h^* = h_{ab}/360 = 0.071$   $u^*_r = #00$   
 Daten für jede Farbe:  
 $lab^*$  und  $lab^*v^*$   
 Bunttonsteine:  
 $u^*_r = #00$   $u^*_d = m80$   
 Kontrastreduzierungsfaktor:  
 $c_r = 1.0$   
 Dreiecks-Helligkeit  $h^*$

ORS19\_96c CIELAB-Daten

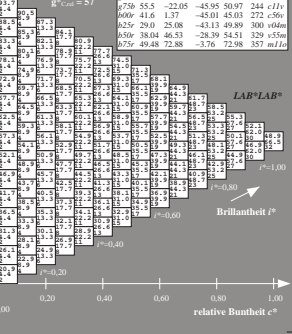
Y <sub>50</sub>	L*	a*	b*	C <sub>ab</sub> *	h <sub>ab</sub> *	u <sub>ab</sub> *	v <sub>ab</sub> *
25	48.75	65.16	40.76	76.86	32	0.040	0.005
50	90.92	-10.78	89.36	90.01	97	0.00	0.00
75	52.69	-65.4	22.15	69.05	161	0.00	0.00
100	59.61	-29.04	-44.69	53.3	237	0.00	0.00
125	28.39	24.0	-43.18	49.4	299	0.00	0.00
150	49.58	74.01	-8.22	74.7	354	0.00	0.00
175	18.89	0.5	0.77	0.92	57	0.00	0.00
200	96.9	-0.57	2.23	2.3	104	0.00	0.00
225	49.58	62.74	27.99	65.07	228	0.00	0.00
250	81.26	-2.89	71.56	71.62	92	0.00	0.00
275	52.23	-42.42	13.6	44.55	162	0.00	0.00
300	30.57	14.1	-46.47	46.49	272	0.00	0.00



Ein und Ausgabe: Farbmetrisches Drucker-Reflektiv-System ORS19\_96, L\* = 19\_96 für relative CIELAB-Buntton  $h^* = lab^*h^* = h_{ab}/360 = 0.117$   $u^*_r = #25$   
 Daten für jede Farbe:  
 $lab^*$  und  $lab^*v^*$   
 Bunttonsteine:  
 $u^*_r = #25$   $u^*_d = #17$   
 Kontrastreduzierungsfaktor:  
 $c_r = 1.0$   
 Dreiecks-Helligkeit  $h^*$

ORS19\_96a adaptierte CIELAB-Daten

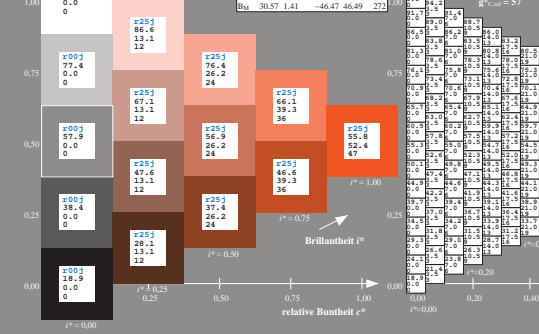
Y <sub>50</sub>	L*	a*	b*	C <sub>ab</sub> *	h <sub>ab</sub> *	u <sub>ab</sub> *	v <sub>ab</sub> *
25	58.85	23.29	47.48	70.7	42	0.175	0.025
50	65.45	32.22	58.37	68.17	59	0.425	0.050
75	75.19	43.82	69.41	71.66	76	0.675	0.075
100	87.03	53.35	82.83	82.9	92	0.925	0.100
125	90.72	55.01	85.9	82.9	92	0.925	0.100
150	70.64	39.54	51.97	65.3	127	0.460	0.050
175	61.93	32.1	36.83	63.8	145	0.372	0.040
200	52.18	25.28	20.93	65.6	162	0.290	0.030
225	55.57	49.58	38.39	50.28	190	0.86	0.060
250	57.82	38.4	28.02	48.07	217	0.72	0.050
275	58.5	22.05	45.95	80.97	244	0.11	0.010
300	41.6	1.37	-45.01	45.03	272	0.56	0.020
325	29.0	25.08	-43.19	49.89	300	0.46	0.020
350	38.04	46.53	-28.39	54.51	329	0.55	0.020
375	49.48	72.88	-3.76	72.98	357	0.16	0.010



Ein und Ausgabe: Farbmetrisches Drucker-Reflektiv-System ORS19\_96, L\* = 19\_96 für relative CIELAB-Buntton  $h^* = lab^*h^* = h_{ab}/360 = 0.164$   $u^*_r = #50$   
 Daten für jede Farbe:  
 $lab^*$  und  $lab^*v^*$   
 Bunttonsteine:  
 $u^*_r = #50$   $u^*_d = #22$   
 Kontrastreduzierungsfaktor:  
 $c_r = 1.0$   
 Dreiecks-Helligkeit  $h^*$

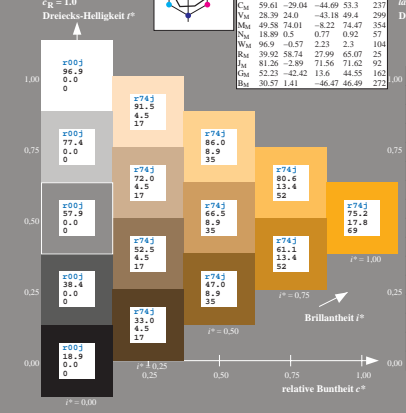
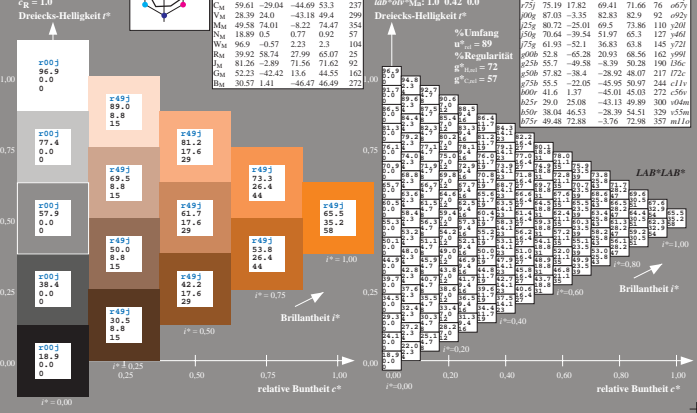
ORS19\_96a adaptierte CIELAB-Daten

Y <sub>50</sub>	L*	a*	b*	C <sub>ab</sub> *	h <sub>ab</sub> *	u <sub>ab</sub> *	v <sub>ab</sub> *
25	58.85	23.29	47.48	70.7	42	0.175	0.025
50	65.45	32.22	58.37	68.17	59	0.425	0.050
75	75.19	43.82	69.41	71.66	76	0.675	0.075
100	87.03	53.35	82.83	82.9	92	0.925	0.100
125	90.72	55.01	85.9	82.9	92	0.925	0.100
150	70.64	39.54	51.97	65.3	127	0.460	0.050
175	61.93	32.1	36.83	63.8	145	0.372	0.040
200	52.18	25.28	20.93	65.6	162	0.290	0.030
225	55.57	49.58	38.39	50.28	190	0.86	0.060
250	57.82	38.4	28.02	48.07	217	0.72	0.050
275	58.5	22.05	45.95	80.97	244	0.11	0.010
300	41.6	1.37	-45.01	45.03	272	0.56	0.020
325	29.0	25.08	-43.19	49.89	300	0.46	0.020
350	38.04	46.53	-28.39	54.51	329	0.55	0.020
375	49.48	72.88	-3.76	72.98	357	0.16	0.010



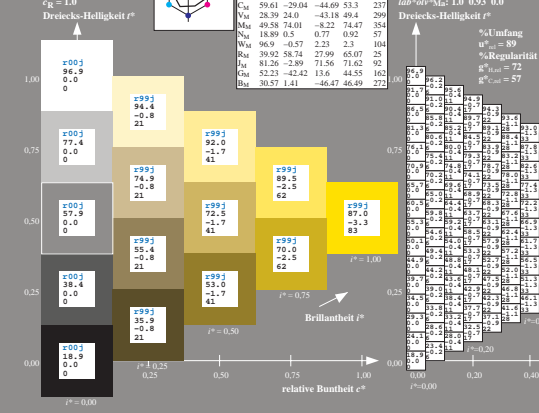
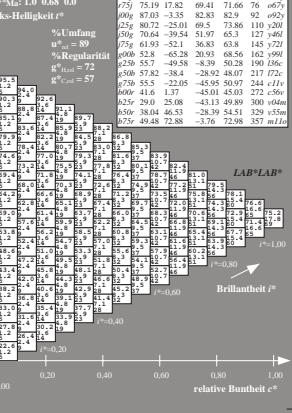
Ein und Ausgabe: Farbmetrisches Drucker-Reflektiv-System ORS19\_96, L\* = 19\_96 für relative CIELAB-Buntton  $h^* = lab^*h^* = h_{ab}/360 = 0.21$   $u^*_r = #75$   
 Daten für jede Farbe:  
 $lab^*$  und  $lab^*v^*$   
 Bunttonsteine:  
 $u^*_r = #75$   $u^*_d = #10$   
 Kontrastreduzierungsfaktor:  
 $c_r = 1.0$   
 Dreiecks-Helligkeit  $h^*$

Ein und Ausgabe: Farbmetrisches Drucker-Reflektiv-System ORS19\_96, L\* = 19\_96 für relative CIELAB-Buntton  $h^* = lab^*h^* = h_{ab}/360 = 0.256$   $u^*_r = #100$   
 Daten für jede Farbe:  
 $lab^*$  und  $lab^*v^*$   
 Bunttonsteine:  
 $u^*_r = #100$   $u^*_d = #02$   
 Kontrastreduzierungsfaktor:  
 $c_r = 1.0$   
 Dreiecks-Helligkeit  $h^*$



Ein und Ausgabe: Farbmetrisches Drucker-Reflektiv-System ORS19\_96, L\* = 19\_96 für relative CIELAB-Buntton  $h^* = lab^*h^* = h_{ab}/360 = 0.354$   $u^*_r = #250$   
 Daten für jede Farbe:  
 $lab^*$  und  $lab^*v^*$   
 Bunttonsteine:  
 $u^*_r = #250$   $u^*_d = #04$   
 Kontrastreduzierungsfaktor:  
 $c_r = 1.0$   
 Dreiecks-Helligkeit  $h^*$

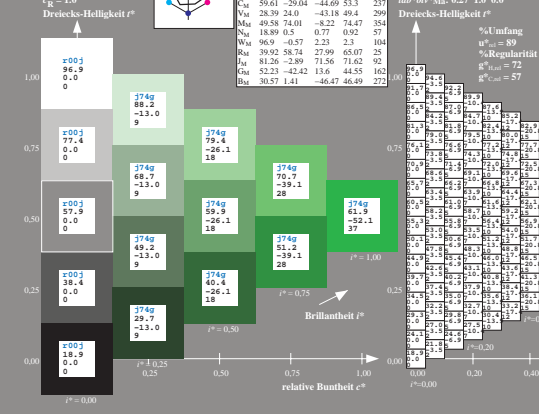
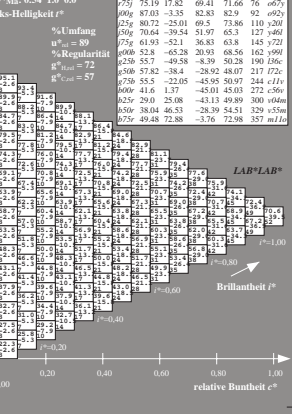
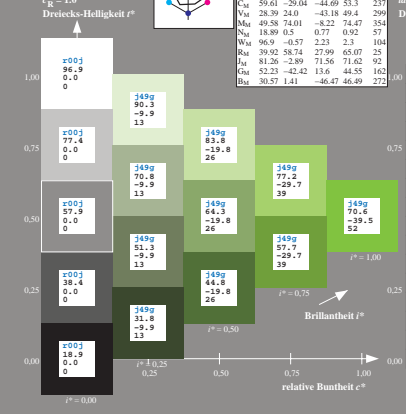
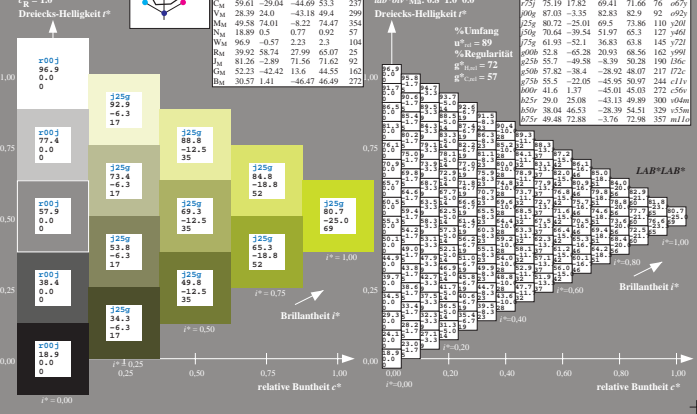
Ein und Ausgabe: Farbmetrisches Drucker-Reflektiv-System ORS19\_96, L\* = 19\_96 für relative CIELAB-Buntton  $h^* = lab^*h^* = h_{ab}/360 = 0.402$   $u^*_r = #750$   
 Daten für jede Farbe:  
 $lab^*$  und  $lab^*v^*$   
 Bunttonsteine:  
 $u^*_r = #750$   $u^*_d = #01$   
 Kontrastreduzierungsfaktor:  
 $c_r = 1.0$   
 Dreiecks-Helligkeit  $h^*$



Ein und Ausgabe: Farbmetrisches Drucker-Reflektiv-System ORS19\_96, L\* = 19\_96 für relative CIELAB-Buntton  $h^* = lab^*h^* = h_{ab}/360 = 0.305$   $u^*_r = #250$   
 Daten für jede Farbe:  
 $lab^*$  und  $lab^*v^*$   
 Bunttonsteine:  
 $u^*_r = #250$   $u^*_d = #20$   
 Kontrastreduzierungsfaktor:  
 $c_r = 1.0$   
 Dreiecks-Helligkeit  $h^*$

Ein und Ausgabe: Farbmetrisches Drucker-Reflektiv-System ORS19\_96, L\* = 19\_96 für relative CIELAB-Buntton  $h^* = lab^*h^* = h_{ab}/360 = 0.354$   $u^*_r = #500$   
 Daten für jede Farbe:  
 $lab^*$  und  $lab^*v^*$   
 Bunttonsteine:  
 $u^*_r = #500$   $u^*_d = #04$   
 Kontrastreduzierungsfaktor:  
 $c_r = 1.0$   
 Dreiecks-Helligkeit  $h^*$

Ein und Ausgabe: Farbmetrisches Drucker-Reflektiv-System ORS19\_96, L\* = 19\_96 für relative CIELAB-Buntton  $h^* = lab^*h^* = h_{ab}/360 = 0.402$   $u^*_r = #750$   
 Daten für jede Farbe:  
 $lab^*$  und  $lab^*v^*$   
 Bunttonsteine:  
 $u^*_r = #750$   $u^*_d = #01$   
 Kontrastreduzierungsfaktor:  
 $c_r = 1.0$   
 Dreiecks-Helligkeit  $h^*$



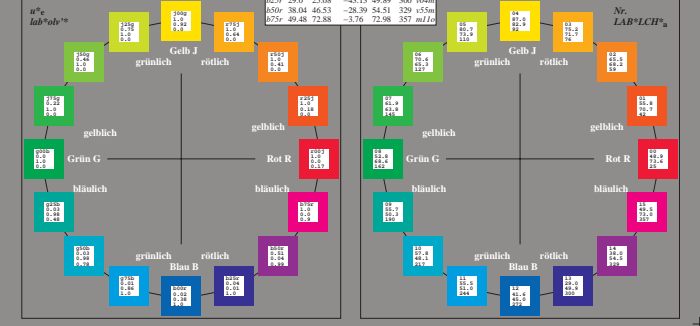
Ein und Ausgabe: Farbmetrisches Drucker-Reflektiv-System ORS19\_96a  
 Daten für jede Farbe:  
 $u^*$  und Nummer  $n = 00 \dots 15$   
 Elementar-Bunttonstext:  
 $u^* = 16$  Bunttonne  $00; r25j, \dots, b75r$   
 Kontrastreduzierungsfaktor:  
 $c_R = 1.0$   
 Dreiecks-Helligkeit  $l^*$

ORS19\_96a; adaptierte CIELAB-Daten

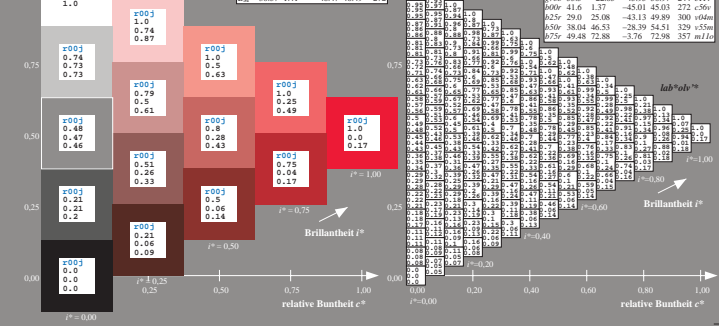
Y <sub>n</sub>	L*	a*	b*	C <sub>ab</sub> *	h <sub>ab</sub> *	u <sub>ab</sub> *
25j	58.88	52.39	47.48	70.7	42	0.175
25r	65.45	32.22	58.37	68.17	59	0.425
25g	75.19	17.82	69.41	71.66	76	0.675
25b	87.03	-3.35	82.83	82.9	92	0.925
25o	90.72	-25.01	69.5	73.86	110	0.95
50g	70.64	-39.54	51.97	65.3	127	0.60
75g	61.93	-52.1	36.83	63.8	145	0.27
100	50.82	-65.28	20.93	65.86	162	0.00
25r	96.9	-0.57	2.23	2.3	104	0.89
25g	89.82	68.74	27.99	65.07	28	0.72
25b	81.26	-2.89	71.56	71.62	92	0.57
25o	52.23	-42.42	13.6	44.55	162	0.16
50g	30.57	1.41	-46.47	46.49	272	0.06
75g	48.88	66.47	31.67	76.86	32	0.59
100	90.92	-10.78	89.36	90.01	97	0.97
25j	52.69	-65.4	22.15	69.05	161	0.86
25r	59.61	-29.04	-44.69	53.3	237	0.59
25g	28.39	24.0	-43.18	49.4	299	0.29
25b	49.58	74.01	-8.22	74.7	354	0.27
25o	18.89	0.5	0.77	0.92	57	0.57
50g	96.9	-0.57	2.23	2.3	104	0.89
75g	89.82	68.74	27.99	65.07	28	0.72
100	81.26	-2.89	71.56	71.62	92	0.57
25r	52.23	-42.42	13.6	44.55	162	0.16
50g	30.57	1.41	-46.47	46.49	272	0.06
75g	48.88	66.47	31.67	76.86	32	0.59
100	90.92	-10.78	89.36	90.01	97	0.97

ORS19\_96a; CIELAB-Daten

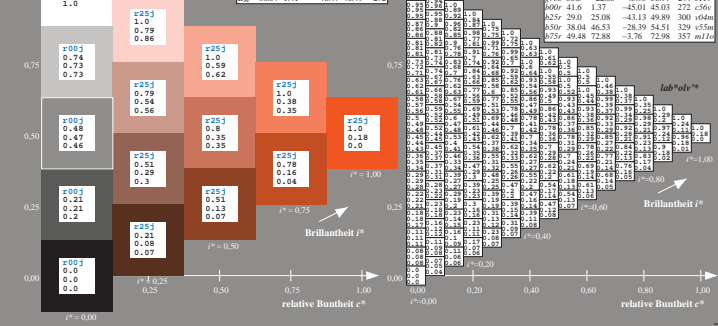
Y <sub>n</sub>	L*	a*	b*	C <sub>ab</sub> *	h <sub>ab</sub> *	u <sub>ab</sub> *
25j	58.88	52.39	47.48	70.7	42	0.175
25r	65.45	32.22	58.37	68.17	59	0.425
25g	75.19	17.82	69.41	71.66	76	0.675
25b	87.03	-3.35	82.83	82.9	92	0.925
25o	90.72	-25.01	69.5	73.86	110	0.95
50g	70.64	-39.54	51.97	65.3	127	0.60
75g	61.93	-52.1	36.83	63.8	145	0.27
100	50.82	-65.28	20.93	65.86	162	0.00
25r	96.9	-0.57	2.23	2.3	104	0.89
25g	89.82	68.74	27.99	65.07	28	0.72
25b	81.26	-2.89	71.56	71.62	92	0.57
25o	52.23	-42.42	13.6	44.55	162	0.16
50g	30.57	1.41	-46.47	46.49	272	0.06
75g	48.88	66.47	31.67	76.86	32	0.59
100	90.92	-10.78	89.36	90.01	97	0.97



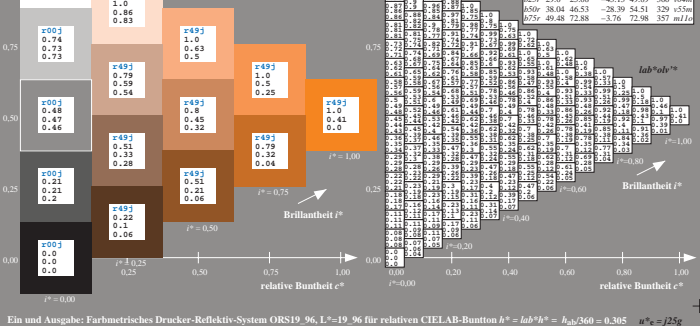
Ein und Ausgabe: Farbmetrisches Drucker-Reflektiv-System ORS19\_96, L\*=19\_96 für relativen CIELAB-Buntton  $h^* = lab^*h^* = h_{ab}/360 = 0.071$   $u^* = r00j$   
 Daten für jede Farbe:  
 $lab^*h^*$  und  $lab^*u^*$   
 Bunttonstext:  
 $LAB^*LCH^*M_{12}$ : 49 66 32  
 $LAB^*LCH^*M_{12}$ : 1.0 0.0 0.15  
 Dreiecks-Helligkeit  $l^*$   
 Brillanzheit  $l^*$   
 Kontrastreduzierungsfaktor:  
 $c_R = 1.0$



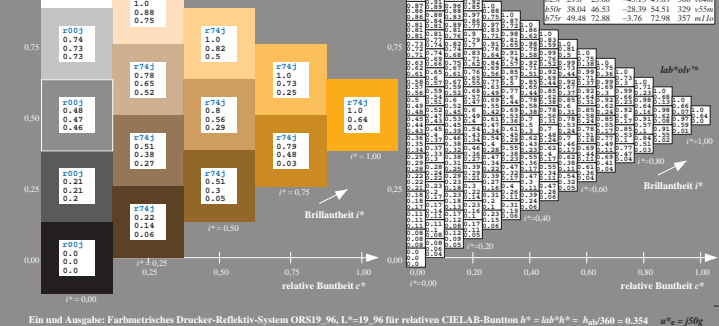
Ein und Ausgabe: Farbmetrisches Drucker-Reflektiv-System ORS19\_96, L\*=19\_96 für relativen CIELAB-Buntton  $h^* = lab^*h^* = h_{ab}/360 = 0.117$   $u^* = r25j$   
 Daten für jede Farbe:  
 $lab^*h^*$  und  $lab^*u^*$   
 Bunttonstext:  
 $LAB^*LCH^*M_{12}$ : 56 53 47  
 $LAB^*LCH^*M_{12}$ : 1.0 0.25 0.0  
 $LAB^*LCH^*M_{12}$ : 1.0 0.17 0.0  
 Dreiecks-Helligkeit  $l^*$   
 Brillanzheit  $l^*$   
 Kontrastreduzierungsfaktor:  
 $c_R = 1.0$



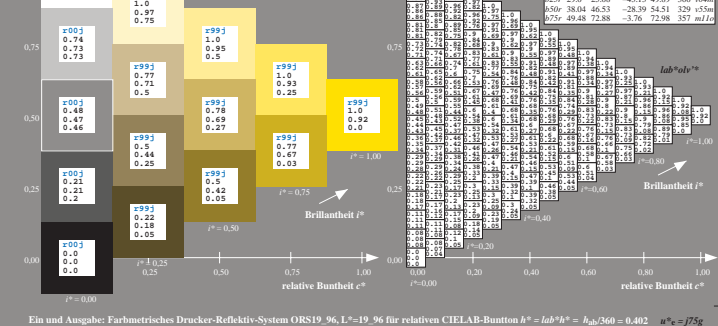
Ein und Ausgabe: Farbmetrisches Drucker-Reflektiv-System ORS19\_96, L\*=19\_96 für relativen CIELAB-Buntton  $h^* = lab^*h^* = h_{ab}/360 = 0.164$   $u^* = r50j$   
 Daten für jede Farbe:  
 $lab^*h^*$  und  $lab^*u^*$   
 Bunttonstext:  
 $LAB^*LCH^*M_{12}$ : 65 58 58  
 $LAB^*LCH^*M_{12}$ : 1.0 0.5 0.0  
 Dreiecks-Helligkeit  $l^*$   
 Brillanzheit  $l^*$   
 Kontrastreduzierungsfaktor:  
 $c_R = 1.0$



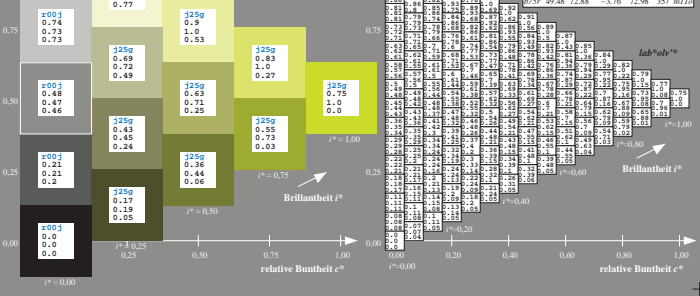
Ein und Ausgabe: Farbmetrisches Drucker-Reflektiv-System ORS19\_96, L\*=19\_96 für relativen CIELAB-Buntton  $h^* = lab^*h^* = h_{ab}/360 = 0.21$   $u^* = r75j$   
 Daten für jede Farbe:  
 $lab^*h^*$  und  $lab^*u^*$   
 Bunttonstext:  
 $LAB^*LCH^*M_{12}$ : 75 18 75  
 $LAB^*LCH^*M_{12}$ : 1.0 0.68 0.0  
 Dreiecks-Helligkeit  $l^*$   
 Brillanzheit  $l^*$   
 Kontrastreduzierungsfaktor:  
 $c_R = 1.0$



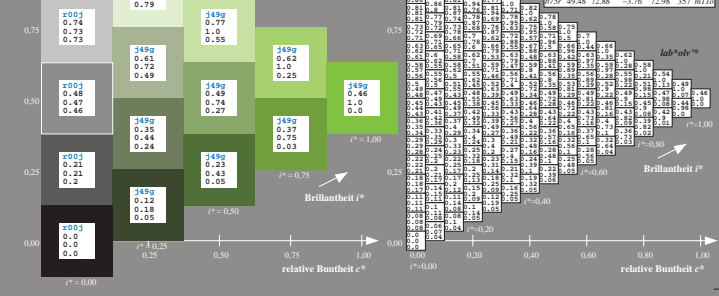
Ein und Ausgabe: Farbmetrisches Drucker-Reflektiv-System ORS19\_96, L\*=19\_96 für relativen CIELAB-Buntton  $h^* = lab^*h^* = h_{ab}/360 = 0.256$   $u^* = r00g$   
 Daten für jede Farbe:  
 $lab^*h^*$  und  $lab^*u^*$   
 Bunttonstext:  
 $LAB^*LCH^*M_{12}$ : 87 -3 83  
 $LAB^*LCH^*M_{12}$ : 1.0 0.93 0.0  
 Dreiecks-Helligkeit  $l^*$   
 Brillanzheit  $l^*$   
 Kontrastreduzierungsfaktor:  
 $c_R = 1.0$



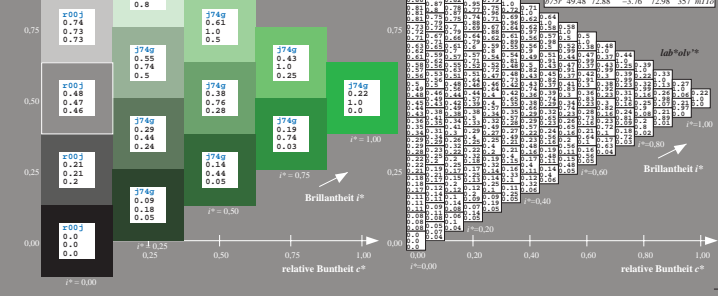
Ein und Ausgabe: Farbmetrisches Drucker-Reflektiv-System ORS19\_96, L\*=19\_96 für relativen CIELAB-Buntton  $h^* = lab^*h^* = h_{ab}/360 = 0.305$   $u^* = r25g$   
 Daten für jede Farbe:  
 $lab^*h^*$  und  $lab^*u^*$   
 Bunttonstext:  
 $LAB^*LCH^*M_{12}$ : 81 74 109  
 $LAB^*LCH^*M_{12}$ : 0.75 1.0 0.0  
 Dreiecks-Helligkeit  $l^*$   
 Brillanzheit  $l^*$   
 Kontrastreduzierungsfaktor:  
 $c_R = 1.0$



Ein und Ausgabe: Farbmetrisches Drucker-Reflektiv-System ORS19\_96, L\*=19\_96 für relativen CIELAB-Buntton  $h^* = lab^*h^* = h_{ab}/360 = 0.354$   $u^* = r50g$   
 Daten für jede Farbe:  
 $lab^*h^*$  und  $lab^*u^*$   
 Bunttonstext:  
 $LAB^*LCH^*M_{12}$ : 71 40 52  
 $LAB^*LCH^*M_{12}$ : 0.5 1.0 0.0  
 Dreiecks-Helligkeit  $l^*$   
 Brillanzheit  $l^*$   
 Kontrastreduzierungsfaktor:  
 $c_R = 1.0$



Ein und Ausgabe: Farbmetrisches Drucker-Reflektiv-System ORS19\_96, L\*=19\_96 für relativen CIELAB-Buntton  $h^* = lab^*h^* = h_{ab}/360 = 0.402$   $u^* = r75g$   
 Daten für jede Farbe:  
 $lab^*h^*$  und  $lab^*u^*$   
 Bunttonstext:  
 $LAB^*LCH^*M_{12}$ : 62 52 37  
 $LAB^*LCH^*M_{12}$ : 0.25 1.0 0.0  
 Dreiecks-Helligkeit  $l^*$   
 Brillanzheit  $l^*$   
 Kontrastreduzierungsfaktor:  
 $c_R = 1.0$

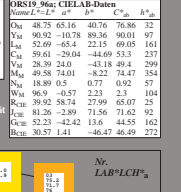




Ein und Ausgabe: Farbmetrisches Drucker-Reflektiv-System ORS19\_96a  
 Daten für jede Farbe:  
 $L^*$  und  $a^*$  und  $b^*$   
 $u^*$  und Nummer Nr. = 00...15  
 Elementar-Bunttonen:  
 $u^*_R = 16$  Bunttöne  $001_r25j, \dots, b75r$   
 Kontrastreduzierungsfaktor:  
 $c_R = 1.0$

ORS19\_96a; adaptierte CIELAB-Daten

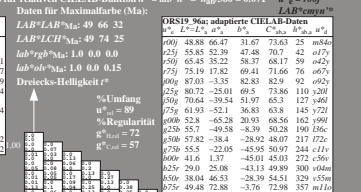
Y <sub>50</sub>	L*	a*	b*	C <sub>94</sub>	h <sub>cb</sub>	m <sub>90</sub>	m <sub>85</sub>
25	58.88	52.39	47.48	70.7	42	0.75	0.75
50	65.43	32.22	58.37	68.17	59	0.62	0.62
75	75.19	17.82	69.41	71.66	76	0.67	0.67
92	80.73	-3.35	82.83	82.9	92	0.92	0.92
100	80.72	-25.01	69.5	73.86	110	0.20	0.20
506	70.64	-39.54	51.97	65.3	127	0.60	0.60
775	61.93	-52.1	36.83	63.8	145	0.72	0.72
900	52.4	-65.28	20.93	65.86	162	0.90	0.90
950	55.7	-49.58	-8.39	50.28	190	0.96	0.96
950	57.82	-38.4	-28.02	48.07	217	0.72	0.72
975	58.5	-22.05	-45.95	80.97	244	0.71	0.71
900	41.6	1.37	-45.01	45.03	272	0.56	0.56
825	29.0	25.08	-43.19	49.89	300	0.66	0.66
650	38.04	46.53	-28.39	54.51	329	0.55	0.55
675	49.48	72.88	-3.76	72.98	357	0.16	0.16



Ein und Ausgabe: Farbmetrisches Drucker-Reflektiv-System ORS19\_96, L\* = 19\_96 für relativen CIELAB-Buntton  $h^* = \text{lab}^*h^* = h_{ab}/360 = 0.071$   $u^*_R = r25j$   
 Daten für jede Farbe:  
 $\text{lab}^*h^*$  und  $\text{lab}^*c^*$   
 Bunttonwerte:  
 $u^*_R = r25j$   $u^*_d = m84$   
 Kontrastreduzierungsfaktor:  
 $c_R = 1.0$   
 Dreiecks-Helligkeit  $I^*$

ORS19\_96a; adaptierte CIELAB-Daten

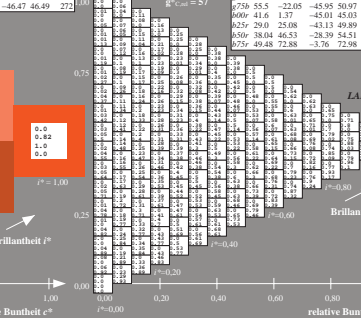
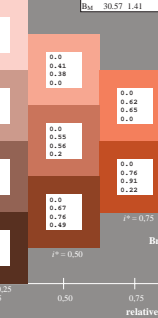
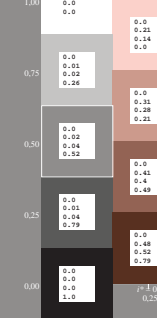
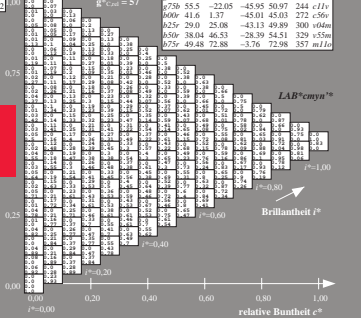
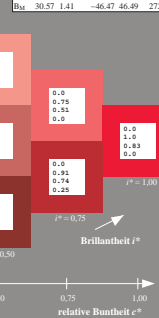
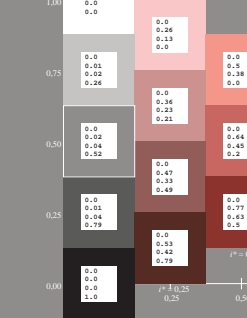
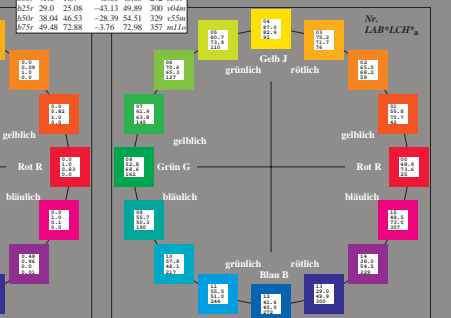
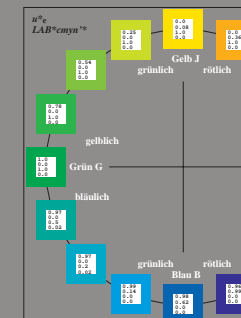
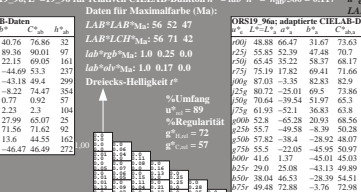
Y <sub>50</sub>	L*	a*	b*	C <sub>94</sub>	h <sub>cb</sub>	m <sub>90</sub>	m <sub>85</sub>
25	58.88	52.39	47.48	70.7	42	0.75	0.75
50	65.43	32.22	58.37	68.17	59	0.62	0.62
75	75.19	17.82	69.41	71.66	76	0.67	0.67
92	80.73	-3.35	82.83	82.9	92	0.92	0.92
100	80.72	-25.01	69.5	73.86	110	0.20	0.20
506	70.64	-39.54	51.97	65.3	127	0.60	0.60
775	61.93	-52.1	36.83	63.8	145	0.72	0.72
900	52.4	-65.28	20.93	65.86	162	0.90	0.90
950	55.7	-49.58	-8.39	50.28	190	0.96	0.96
950	57.82	-38.4	-28.02	48.07	217	0.72	0.72
975	58.5	-22.05	-45.95	80.97	244	0.71	0.71
900	41.6	1.37	-45.01	45.03	272	0.56	0.56
825	29.0	25.08	-43.19	49.89	300	0.66	0.66
650	38.04	46.53	-28.39	54.51	329	0.55	0.55
675	49.48	72.88	-3.76	72.98	357	0.16	0.16



Ein und Ausgabe: Farbmetrisches Drucker-Reflektiv-System ORS19\_96, L\* = 19\_96 für relativen CIELAB-Buntton  $h^* = \text{lab}^*h^* = h_{ab}/360 = 0.117$   $u^*_R = r25j$   
 Daten für jede Farbe:  
 $\text{lab}^*h^*$  und  $\text{lab}^*c^*$   
 Bunttonwerte:  
 $u^*_R = r25j$   $u^*_d = a7y$   
 Kontrastreduzierungsfaktor:  
 $c_R = 1.0$   
 Dreiecks-Helligkeit  $I^*$

ORS19\_96a; adaptierte CIELAB-Daten

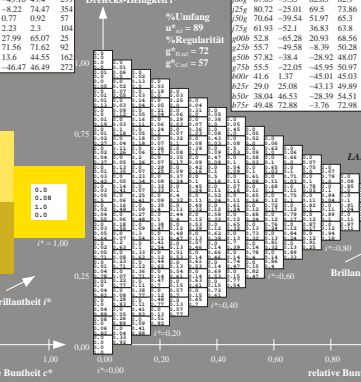
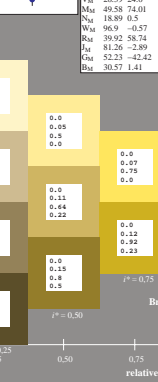
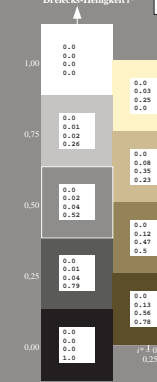
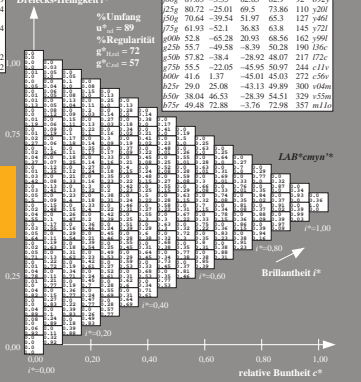
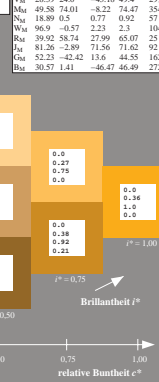
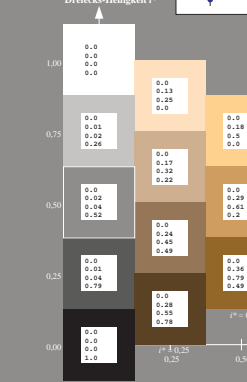
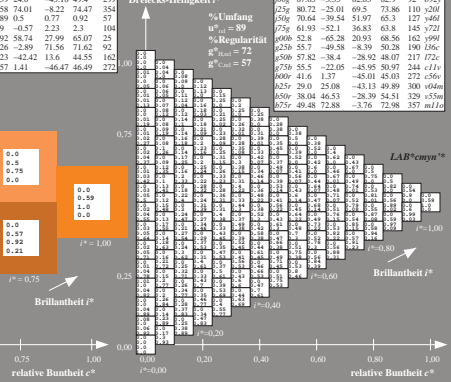
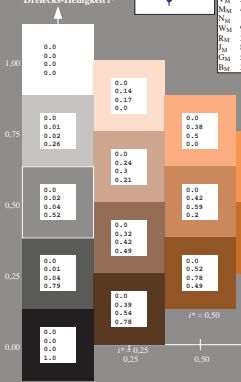
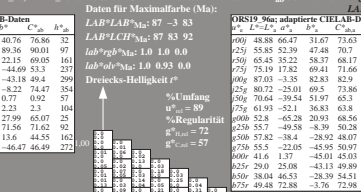
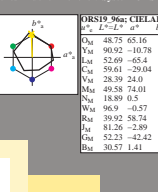
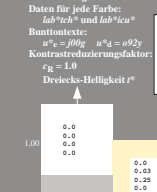
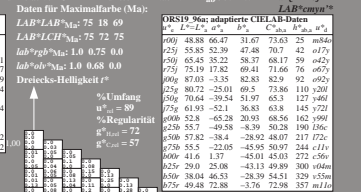
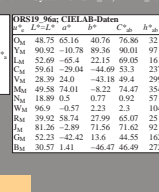
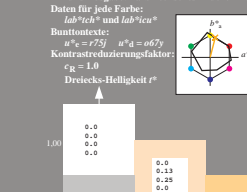
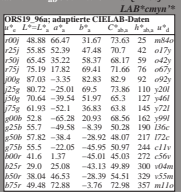
Y <sub>50</sub>	L*	a*	b*	C <sub>94</sub>	h <sub>cb</sub>	m <sub>90</sub>	m <sub>85</sub>
25	58.88	52.39	47.48	70.7	42	0.75	0.75
50	65.43	32.22	58.37	68.17	59	0.62	0.62
75	75.19	17.82	69.41	71.66	76	0.67	0.67
92	80.73	-3.35	82.83	82.9	92	0.92	0.92
100	80.72	-25.01	69.5	73.86	110	0.20	0.20
506	70.64	-39.54	51.97	65.3	127	0.60	0.60
775	61.93	-52.1	36.83	63.8	145	0.72	0.72
900	52.4	-65.28	20.93	65.86	162	0.90	0.90
950	55.7	-49.58	-8.39	50.28	190	0.96	0.96
950	57.82	-38.4	-28.02	48.07	217	0.72	0.72
975	58.5	-22.05	-45.95	80.97	244	0.71	0.71
900	41.6	1.37	-45.01	45.03	272	0.56	0.56
825	29.0	25.08	-43.19	49.89	300	0.66	0.66
650	38.04	46.53	-28.39	54.51	329	0.55	0.55
675	49.48	72.88	-3.76	72.98	357	0.16	0.16



Ein und Ausgabe: Farbmetrisches Drucker-Reflektiv-System ORS19\_96, L\* = 19\_96 für relativen CIELAB-Buntton  $h^* = \text{lab}^*h^* = h_{ab}/360 = 0.164$   $u^*_R = r50g$   
 Daten für jede Farbe:  
 $\text{lab}^*h^*$  und  $\text{lab}^*c^*$   
 Bunttonwerte:  
 $u^*_R = r50g$   $u^*_d = a7y$   
 Kontrastreduzierungsfaktor:  
 $c_R = 1.0$   
 Dreiecks-Helligkeit  $I^*$

ORS19\_96a; adaptierte CIELAB-Daten

Y <sub>50</sub>	L*	a*	b*	C <sub>94</sub>	h <sub>cb</sub>	m <sub>90</sub>	m <sub>85</sub>
25	58.88	52.39	47.48	70.7	42	0.75	0.75
50	65.43	32.22	58.37	68.17	59	0.62	0.62
75	75.19	17.82	69.41	71.66	76	0.67	0.67
92	80.73	-3.35	82.83	82.9	92	0.92	0.92
100	80.72	-25.01	69.5	73.86	110	0.20	0.20
506	70.64	-39.54	51.97	65.3	127	0.60	0.60
775	61.93	-52.1	36.83	63.8	145	0.72	0.72
900	52.4	-65.28	20.93	65.86	162	0.90	0.90
950	55.7	-49.58	-8.39	50.28	190	0.96	0.96
950	57.82	-38.4	-28.02	48.07	217	0.72	0.72
975	58.5	-22.05	-45.95	80.97	244	0.71	0.71
900	41.6	1.37	-45.01	45.03	272	0.56	0.56
825	29.0	25.08	-43.19	49.89	300	0.66	0.66
650	38.04	46.53	-28.39	54.51	329	0.55	0.55
675	49.48	72.88	-3.76	72.98	357	0.16	0.16



Ein und Ausgabe: Farbmetrisches Drucker-Reflektiv-System ORS19\_96, L\* = 19\_96 für relativen CIELAB-Buntton  $h^* = \text{lab}^*h^* = h_{ab}/360 = 0.205$   $u^*_R = r50g$   
 Daten für jede Farbe:  
 $\text{lab}^*h^*$  und  $\text{lab}^*c^*$   
 Bunttonwerte:  
 $u^*_R = r50g$   $u^*_d = a7y$   
 Kontrastreduzierungsfaktor:  
 $c_R = 1.0$   
 Dreiecks-Helligkeit  $I^*$

ORS19\_96a; adaptierte CIELAB-Daten

Y <sub>50</sub>	L*	a*	b*	C <sub>94</sub>	h <sub>cb</sub>	m <sub>90</sub>	m <sub>85</sub>
25	58.88	52.39	47.48	70.7	42	0.75	0.75
50	65.43	32.22	58.37	68.17	59	0.62	0.62
75	75.19	17.82	69.41	71.66	76	0.67	0.67
92	80.73	-3.35	82.83	82.9	92	0.92	0.92
100	80.72	-25.01	69.5	73.86	110	0.20	0.20
506	70.64	-39.54	51.97	65.3	127	0.60	0.60
775	61.93	-52.1	36.83	63.8	145	0.72	0.72
900	52.4	-65.28	20.93	65.86	162	0.90	0.90
950	55.7	-49.58	-8.39	50.28	190	0.96	0.96
950	57.82	-38.4	-28.02	48.07	217	0.72	0.72
975	58.5	-22.05	-45.95	80.97	244	0.71	0.71
900	41.6	1.37	-45.01	45.03	272	0.56	0.56
825	29.0	25.08	-43.19	49.89	300	0.66	0.66
650	38.04	46.53	-28.39	54.51	329	0.55	0.55
675	49.48	72.88	-3.76	72.98	357	0.16	0.16

